## 十二回連載 ワンポイントレッスン 第十回

# 親楊で使える 研磨加工の理論と計算手法

### 字根恙暢(元 防衛大学校),闷西敏雄((株)闷西研磨核祈特别研究室)

#### 1. キャリア式研磨機

キャリア式研磨機を図 10.1 に示す. 工作物はキャ リア内に収納され、反転する太陽ギアとインターナル ギアにより定盤と同方向に強制回転させられ、重錘 により圧力がかけられる。キャリアは定盤上に等分に 複数個配置され、工作物はキャリア内に等分に複数 個配置される. 一般的に、キャリアは太陽ギアとイン ターナルギアにより強制的に自公転するが、キャリア 中の工作物は工具の回転により連れ回りする。

#### 2. キャリア式研磨機の運動解析と相対速度

図 10.2 は円環状工具と、その上に等分に配置さ れた複数個のキャリア、キャリア中に等分に配置され た3個の円板状工作物の位置関係を示すものである。 ここでは、簡単化のために工作物も一定速度で回転 するものとして、平均相対速度を算出する理論式を 導出する。半径 $R_{\rm C}$ のキャリアは、角速度 $\omega_{\rm a}$ で回転し ている半径 $R_a$ の内輪と、角速度 $\omega_b$ で回転している半 径 Rbの外輪により自公転し、半径 Rwoの工作物と円 環工具はそれぞれ  $\omega_{
m W}$ と  $\omega_{
m T}$ の角速度で回転してい るものとする。この時、キャリアの自公転の角速度  $\omega_{K}$ 、  $\omega_{\rm M}$  は、

$$\omega \kappa = \frac{(R_a + R_c)(\omega_b R_b - \omega_a R_a)}{(R_a + R_b)R_c}$$
(10.1)

$$\omega_{\rm M} = \frac{\omega_a R_a + \omega_b R_b}{R_a + R_b}$$
 (10.2)

で表すことができる。このキャリアの自公転、および 工作物、工具の回転によって、t 時間後にキャリアの 中心は $O_{K0}$ から $O_{K}$ に、工作物の中心は $O_{W0}$ から $O_{W}$ に移動する。この時、工作物上の任意の点  $A_0(x_0, y_0)$ は点 A(x,y)に移動したとすると、その座標(x,y)は、  $x=d \cdot \cos(\omega_{\rm M} \cdot t) + L \cdot \cos(\omega_{\rm K} \cdot t) + R_{\rm W} \cdot \cos(\theta_0 + \omega_{\rm W} \cdot t)$  (10.3)

 $y=d \cdot \sin(\omega_{\rm M} \cdot t) + L \cdot \sin(\omega_{\rm K} \cdot t) + R_{\rm W} \cdot \sin(\theta_0 + \omega_{\rm W} \cdot t)$  (10.4) で表すことができる。ここで、第1項はキャリア中心 O<sub>K</sub>の座標を、第1項と第2項の加算は工作物中心  $O_W$ の座標を表す。d は工具中心とキャリア中心の距

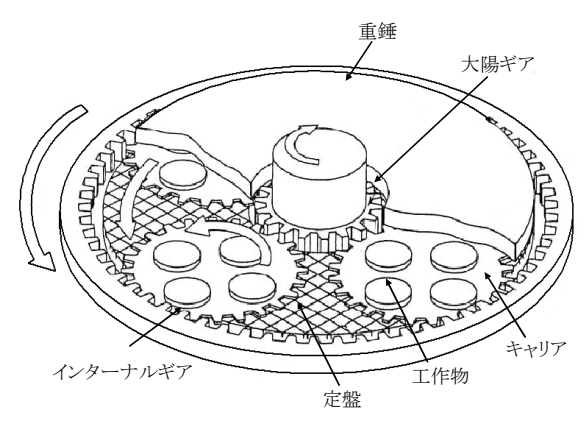


図 10.1 キャリア式研磨機

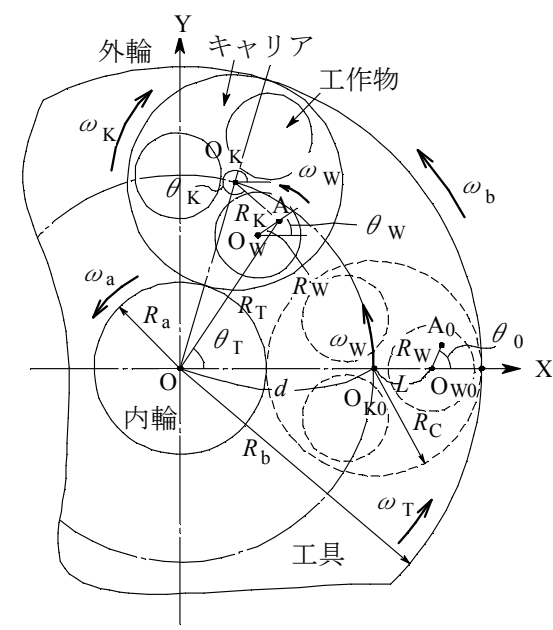


図10.2 キャリア式研磨機における工作物と工具の位置

離、Lはキャリア中心とウエハ中心の距離、Rwはウエ ハ中心から Ao 点までの距離、60 は工作物の初期位 相である。

次に、工作物上の任意の点 A(x, y)において、キャ リアの公転と工具の回転によって発生する速度差、 および工作物、キャリアの自転によって発生する速 度を、それぞれ v<sub>d</sub>、v<sub>w</sub>、v<sub>k</sub>とし、それぞれの X 方向、 Y 方向のベクトル速度をx、v のサフィックスをつけて 表すと、以下の式が成立する。

$$v_{dx} = R_T \cdot (\omega_T - \omega_M) \cdot \cos\theta_T$$

$$v_{dy} = R_T \cdot (\omega_T - \omega_M) \cdot \sin\theta_T$$
(10.5)

 $vw_x = R_w \cdot \omega_w \cdot \cos\theta_w \quad vw_y = R_w \cdot \omega_w \cdot \sin\theta_w \quad (10.6)$ 

$$v_{K_x} = R_K \cdot \omega_K \cdot \cos\theta_K \quad v_{K_y} = R_K \cdot \omega_K \cdot \sin\theta_K \quad (10.7)$$

ここで、 $\theta_{\rm T}$ 、 $\theta_{\rm W}$ 、 $\theta_{\rm K}$ は次式で表される。

$$\omega_{\text{M}} \cdot t - \theta_{\text{T}} = \cos^{-1} \left( \frac{d^2 + R_{\text{T}}^2 - R_{\text{K}}^2}{2d \cdot R_{\text{T}}} \right)$$
 (10.8)

$$\theta_{W} = \theta_{0} + \omega_{W} \cdot t \tag{10.9}$$

$$\omega_{\text{M}} \cdot t - \theta_{\text{T}} = \cos^{-1} \left( \frac{d^2 + R_{\text{T}}^2 - R_{\text{K}}^2}{2d \cdot R_{\text{T}}} \right)$$
(10.8)  

$$\theta_{\text{W}} = \theta_0 + \omega_{\text{W}} \cdot t$$
(10.9)  

$$\theta_{\text{K}} - \omega_{\text{K}} \cdot t = \cos^{-1} \left( \frac{L^2 + R_{\text{K}}^2 - R_{\text{W}}^2}{2L \cdot R_{\text{K}}} \right)$$
(10.10)

以上の式を用いて工作物と工具間の相対速度 V は式(10.11)で表すことができる。

$$V^{2}=(v_{dx}+v_{Wx}+v_{Kx})^{2}+(v_{dy}+v_{Wy}+v_{Ky})^{2} \qquad (10.11)$$

したがって、工作物半径 Rwの半円上における工作 物と工具の平均相対速度 V は式(10.12)で表すこと ができる。

$$\overline{V}(R_{\rm W}) = \frac{1}{\pi} \int_0^{\pi} V(R_{\rm W}, \theta_{\rm W}) d\theta_{\rm W} \qquad (10.12)$$

#### 3. コンボルーション研磨

研磨工具が回転し、ある位置(x, y)に t 時間だけ止 まって加工する場合、その位置における単位除去形 状 f(x, y)は、Preston の式を用いると、式(10.13)で表さ れる.

$$f(x,y) = \int K \cdot P(x,y,t) \cdot V(x,y,t) dt$$
 (10.13)  
ここで、 $P(x,y,t)$ は工具と工作物間の接触圧力分布、 $V(x,y,t)$ は研磨速度分布であり、 $K$ は比例定数である。このような単位除去形状  $f(x,y)$ をもつ工具を平面内で移動すると、加工面の加工量分布  $h(x,y)$ は、前加工面を平面とし、工具の滞留時間を $g(x,y)$ とすれば、式(10.14)で示す以下のコンボリューションモデルで予想することが可能になる。

$$h(x,y) = \int_{-\infty}^{\infty} g(u,v) \cdot f(u-v,y-v) du dv \ (10.14)$$

この計算結果を模式的に表したものが、図10.3であ る. 接触圧力分布が重要になるが、通常、工作物に 対して工具が小さいので、工具全面が一様な圧力分 布が保たれるとして扱われている. 矩形交差パター ンで研磨される場合がもっとも平坦度が良好である。 平坦な仕上げをするためには滞留時間の最適化が 必要となる。それがデコンボルーション研磨である。

#### 4. デコンボルーション研磨

任意の表面形状 h(x, y)をもつ前加工面を平面に 研磨する場合には、式(10.14)のコンボルーション計 算によって求められる滞留時間 g(x, v)のフーリエ変 換 G を逆変換し、求めた g(x, y)に応じて工具送り運 動をコントロールすればよい.

$$g(x,y) = \int \int_{-\infty}^{\infty} \frac{H(\omega_{\alpha},\omega_{\beta})}{F(\omega_{\beta},\omega_{\beta})} \cdot e^{j\omega_{\alpha}x} \cdot e^{j\omega_{\beta}y} d\alpha d\beta$$
 (10.15)

ここで、H、Fはそれぞれh、fのフーリエ変換である. 図 10.4 はデコンボリューションモデルの計算を行っ た例である. 単位除去形状は、工具全面の圧力を一 様として扱っているので、工具と工作物間の相対速 度で決まり、逆円錐形状をもつ。理想モデルでは平 面に仕上げられるが、実研磨量は目標研磨量と一致 しないので、シミュレーション仕上面は平面に仕上 げられていない。

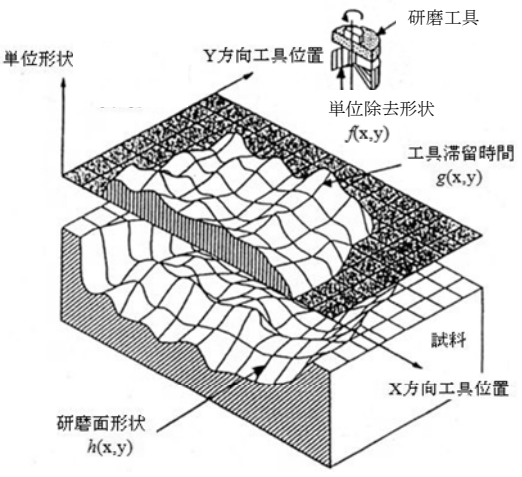


図 10.3 コンボルーションモデルの模式図

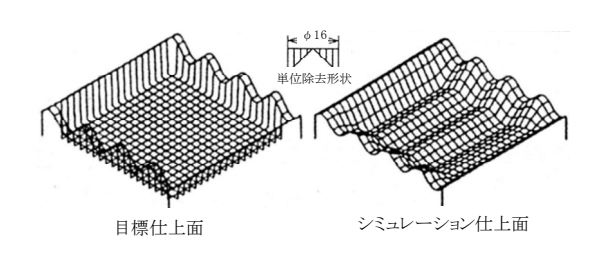


図 10.4 デコンボルーションモデルによる創成面の シミュレーション

◆研磨シミュレーション講座を9、10月に開催します。 http://park.saitama-u.ac.jp/~kasai-alpt-lab/